

# 仮想仕事の原理



## ⑧ 相反定理 例題

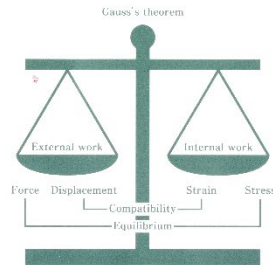
城戸將江・津田恵吾 2021.05

# 仮想仕事の原理とエネルギー原理 トラス, 梁, 骨組

鹿島出版会 2019年9月

## 仮想仕事の 原理と エネルギー原理

トラス, 梁, 骨組



Keiyo ISUDA Masae KIDO  
津田恵吾 / 城戸将江 (共著)

Virtual work and energy principles  
for trusses, beams and frames

鹿島出版会

ISBN978-4-306-03388-7  
C3052 ¥3500E

鹿島出版会

定価(本体3,500円+税)

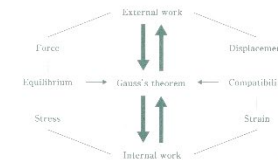


9784306033887



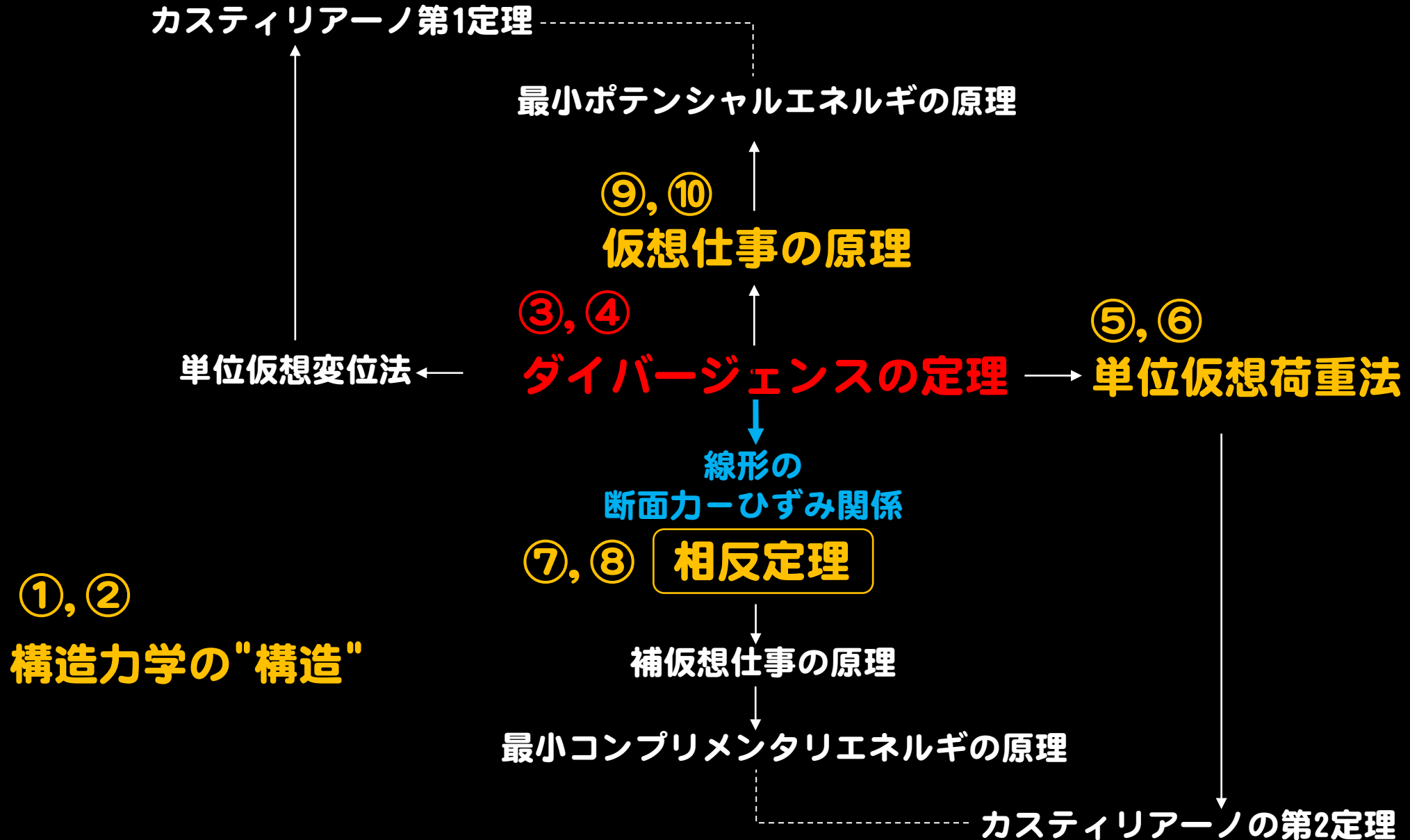
1923052035006

仮想仕事の  
原理と  
エネルギー原理  
トラス, 梁, 骨組



Virtual work and energy principles for trusses, beams and frames

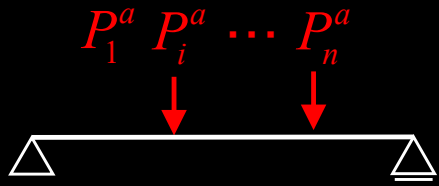
# 仕事の原理・エネルギー原理の概観



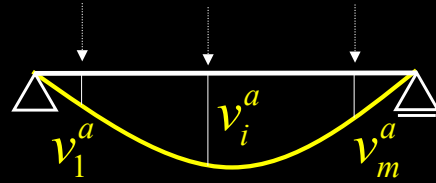
# 相反定理 1

$$P_1^a \cdot v_1^b + \dots + P_n^a \cdot v_n^b$$

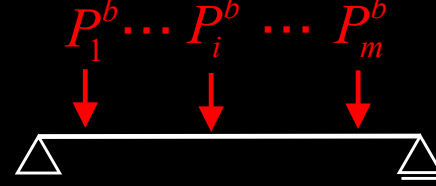
$$P_1^b \cdot v_1^a + \dots + P_m^b \cdot v_m^a$$



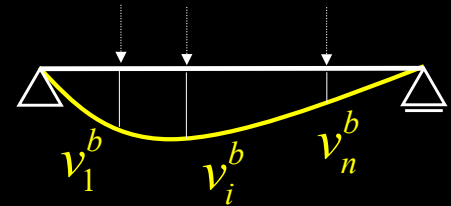
(a) 外力



(c) たわみ



(a) 外力



(c) たわみ



(b) 断面力



(d) ひずみ



(b) 断面力



(d) ひずみ

$$\int_0^l M_a \phi_b dx$$

$$\int_0^l M_b \phi_a dx$$

釣合系1

適合系1

釣合系2

適合系2

系1

系2

# 相反定理 2

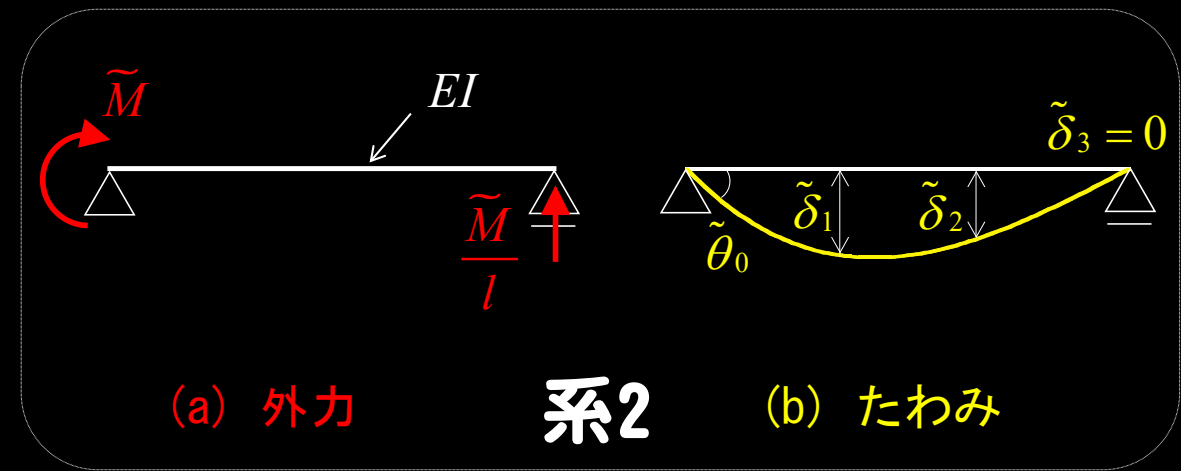
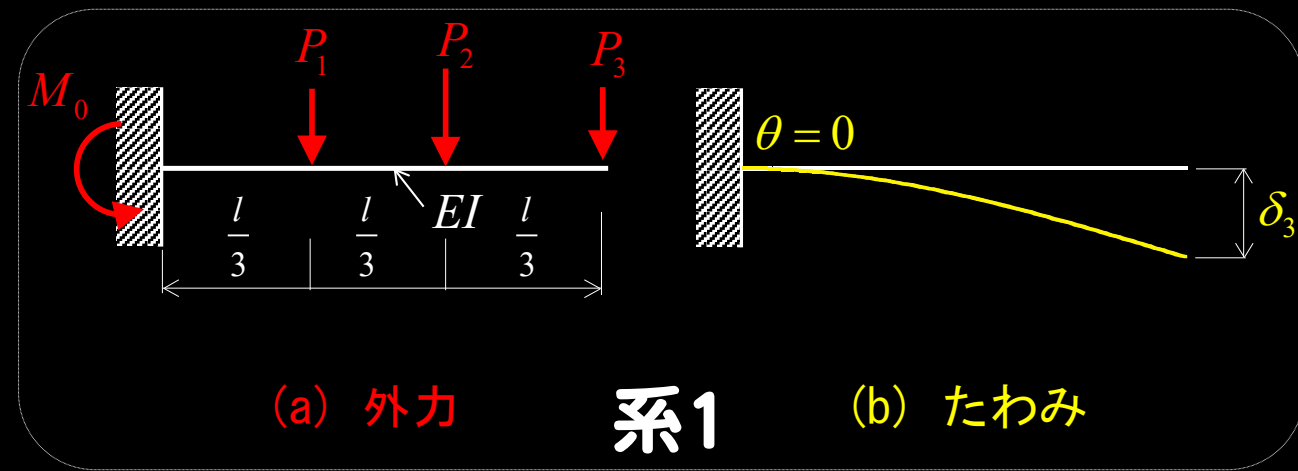
線形弾性体であれば、 $\int_0^l M_a \phi_b dx = \int_0^l M_b \phi_a dx$

下式の**相反定理**が得られる

$$P_1^a \cdot v_1^b + \dots + P_n^a \cdot v_n^b = P_1^b \cdot v_1^a + \dots + P_m^b \cdot v_m^a$$

**系1と系2の幾何学的境界条件は異なっても良い**  
釣合系の反力が適合系の変位に対して仕事をするとき  
は忘れずに考慮することが必要。

# 例題1 定理の成立つ確認



## 相反定理式

$$-M_0 \cdot \tilde{\theta}_0 + P_1 \cdot \tilde{\delta}_1 + P_2 \cdot \tilde{\delta}_2 + P_3 \cdot 0 = \tilde{M} \cdot 0 - \frac{\tilde{M}}{l} \cdot \delta_3$$

系1の自由端のたわみ  $\delta_3$

$$\delta_3 = (4P_1 + 14P_2 + 27P_3) \frac{l^3}{81EI}$$

系2のたわみ

$$\tilde{\delta}_1 = \frac{5\tilde{M}l^2}{81EI} \quad \tilde{\delta}_2 = \frac{4\tilde{M}l^2}{81EI} \quad \tilde{\theta}_0 = \frac{\tilde{M}l}{3EI}$$

# 例題1(続) 定理の成立つ確認

相反定理式 
$$-M_0 \cdot \tilde{\theta}_0 + P_1 \cdot \tilde{\delta}_1 + P_2 \cdot \tilde{\delta}_2 + P_3 \cdot 0 = \tilde{M} \cdot 0 - \frac{\tilde{M}}{l} \cdot \delta_3$$

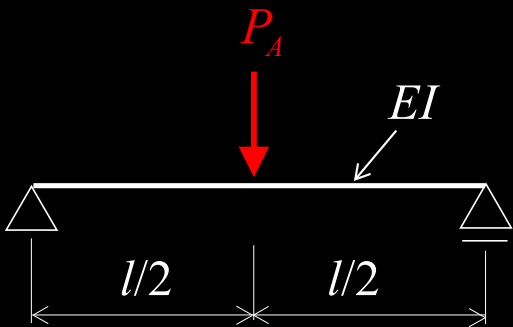
左辺= 
$$-\left(P_1 \cdot \frac{l}{3} + P_2 \cdot \frac{2l}{3} + P_3 \cdot l\right) \cdot \frac{\tilde{M}l}{3EI} + P_1 \cdot \frac{5\tilde{M}l^2}{81EI} + P_2 \cdot \frac{4\tilde{M}l^2}{81EI}$$
$$= -(4P_1 + 14P_2 + 27P_3) \frac{\tilde{M}l^2}{81EI}$$

右辺= 
$$-\frac{\tilde{M}}{l} \cdot \delta_3 = -\frac{\tilde{M}}{l} \cdot (4P_1 + 14P_2 + 27P_3) \frac{l^3}{81EI}$$
$$= -(4P_1 + 14P_2 + 27P_3) \frac{\tilde{M}l^2}{81EI}$$

左辺=右辺となり、  
相反定理が成立  
していることが  
確認できた

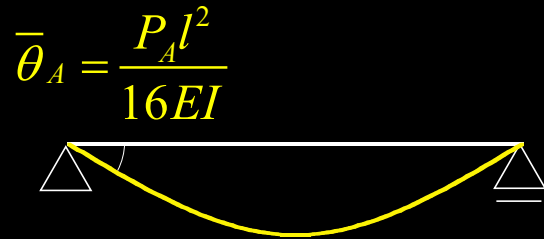
# 例題2

幾何学的境界条件の同じ場合  
系2のたわみ $\delta_B$ の算定



(a) 外力

系1



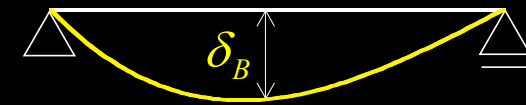
(b) たわみ

$$\bar{\theta}_A = \frac{P_A l^2}{16EI}$$



(a) 外力

系2



(b) たわみ

系1の釣合系の外力と系2の適合系のたわみに関して、**相反定理式**を書き下すと下式となる。

$$P_A \cdot \delta_B = M_B \cdot \bar{\theta}_A$$

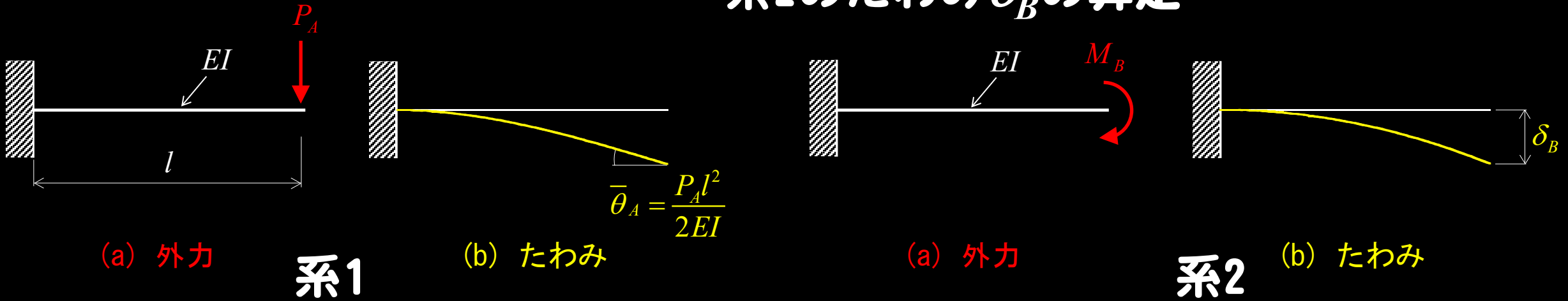
従って、系2の適合系において、たわみ $\delta_B$ は下式となる。

$$P_A \cdot \delta_B = M_B \cdot \frac{P_A l^2}{16EI} \quad \therefore \delta_B = \frac{M_B l^2}{16EI}$$



# 例題3

幾何学的境界条件の同じ場合  
系2のたわみ $\delta_B$ の算定



系1の釣合系の外力と系2の適合系のたわみに関して、**相反定理式**を書き下すと下式となる。

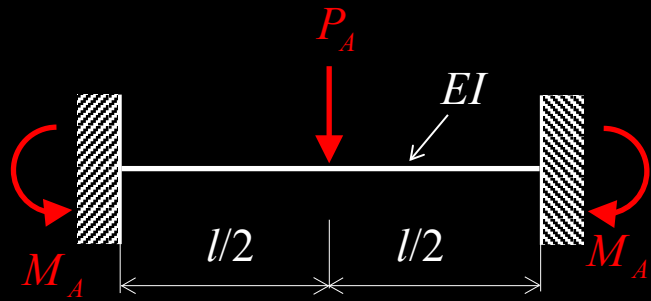
$$P_A \cdot \delta_B = M_B \cdot \bar{\theta}_A = M_B \cdot \frac{P_A l^2}{2EI}$$

従って、系2の適合系において、たわみ $\delta_B$ は下式となる。

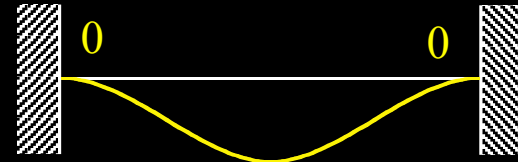
$$\delta_B = \frac{M_B l^2}{2EI}$$

# 例題4

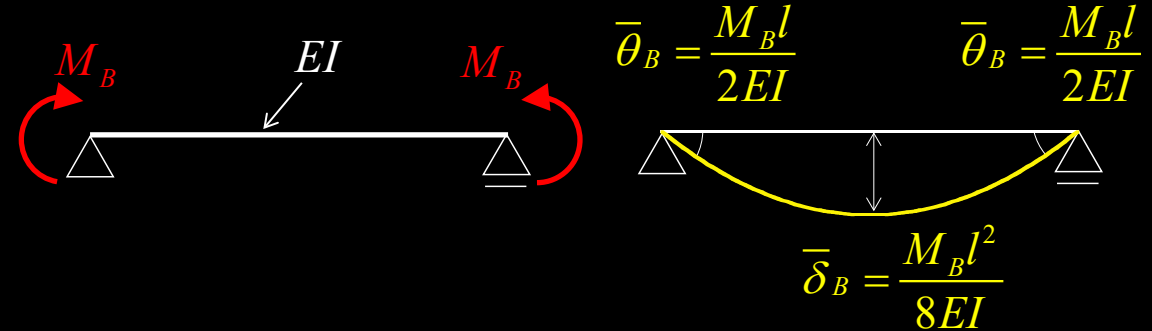
幾何学的境界条件の異なる場合  
系1の曲げモーメント $M_A$ の算定



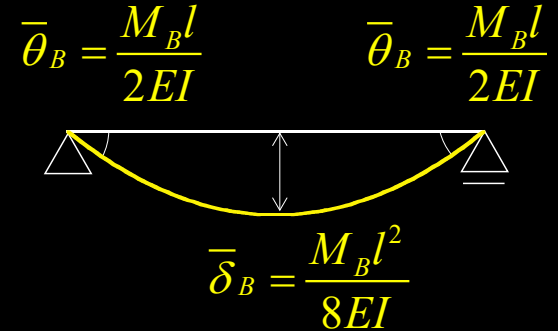
(a) 外力 系1



(b) たわみ



(a) 外力 系2



(b) たわみ

系1の釣合系の外力と系2の適合系のたわみに関して、**相反定理式**を書き下すと下式となる。

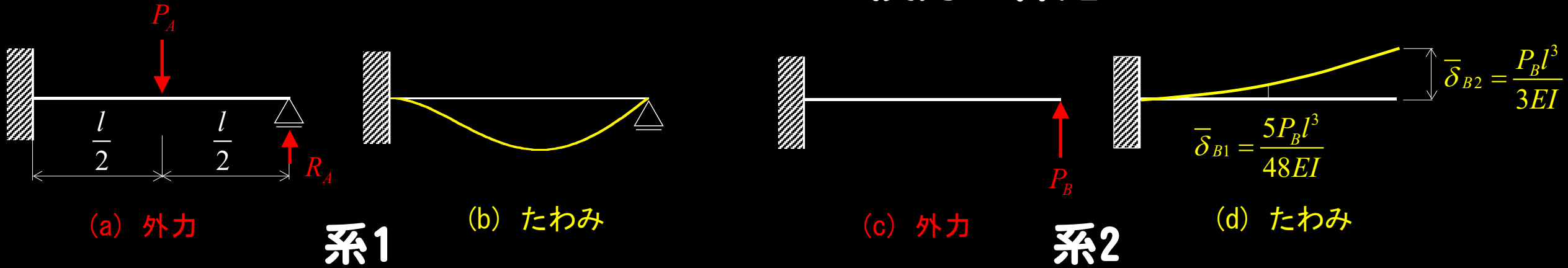
$$P_A \bar{\delta}_B + (-M_A \bar{\theta}_B) \times 2 = M_B \times 0 \times 2 = 0$$

従って、系1の釣合系において、曲げモーメント $M_A$ は下式となる。

$$P_A \frac{M_B l^2}{8EI} + (-M_A \frac{M_B l}{2EI}) \times 2 = 0 \quad \therefore M_A = \frac{P_A l}{8}$$

# 例題5

## 幾何学的境界条件の異なる場合 反力の算定



系1の釣合系の外力と系2の適合系のたわみに関して、**相反定理式**を書き下すと下式となる。

$$-P_A \cdot \bar{\delta}_{B1} + R_A \cdot \bar{\delta}_{B2} = P_B \cdot 0$$

$$\therefore R_A = \frac{\bar{\delta}_{B1}}{\bar{\delta}_{B2}} P_A = \frac{48EI}{P_B l^3} P_A = \frac{5}{16} P_A$$

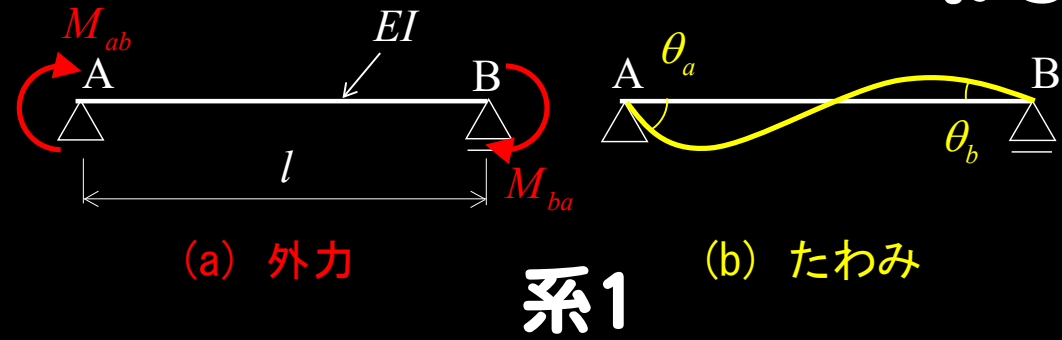
従って、系1の釣合系において、反力 $R_A$ は下式となる。

$$R_A = \frac{5}{16} P_A$$

# 例題6

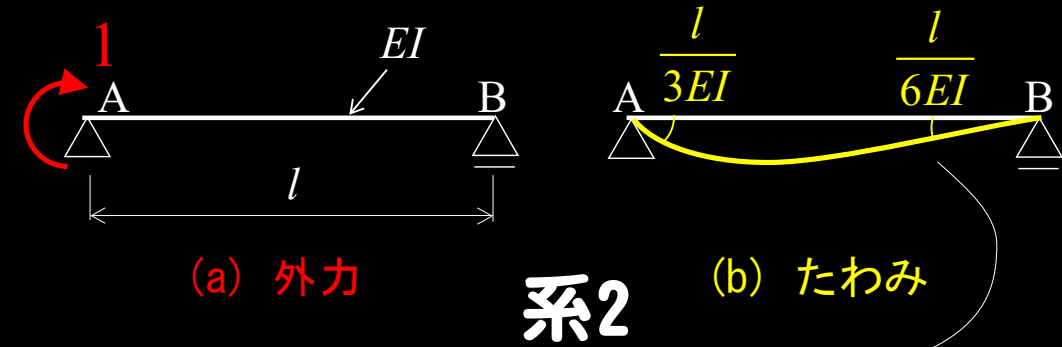
## マックスウェルの定理

### 系1と系2の相反定理式

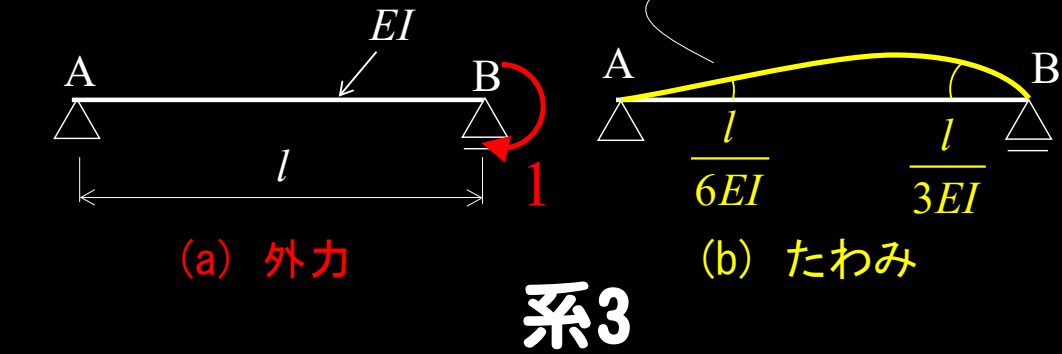


$$1 \cdot \theta_a = M_{ab} \cdot \frac{l}{3EI} - M_{ba} \cdot \frac{l}{6EI}$$

(重ね合せの原理  $\rightarrow \theta_a = M_{ab} \cdot \frac{l}{3EI} - M_{ba} \cdot \frac{l}{6EI}$ )



### 系1と系3の相反定理式



$$1 \cdot \theta_b = -M_{ab} \cdot \frac{l}{6EI} + M_{ba} \cdot \frac{l}{3EI}$$

# 例題6 (続)

## マックスウェルの定理

系1と系2  $1 \cdot \theta_a = M_{ab} \frac{l}{3EI} - M_{ba} \cdot \frac{l}{6EI}$

系1と系3  $1 \cdot \theta_b = -M_{ab} \frac{l}{6EI} + M_{ba} \cdot \frac{l}{3EI}$

マトリックス形式で記述

$$\begin{pmatrix} \theta_a \\ \theta_b \end{pmatrix} = \begin{pmatrix} \frac{l}{3EI} & -\frac{l}{6EI} \\ -\frac{l}{6EI} & \frac{l}{3EI} \end{pmatrix} \begin{pmatrix} M_{ab} \\ M_{ba} \end{pmatrix}$$



$$\begin{pmatrix} M_{ab} \\ M_{ba} \end{pmatrix} = \begin{pmatrix} \frac{4EI}{l} & \frac{2EI}{l} \\ \frac{2EI}{l} & \frac{4EI}{l} \end{pmatrix} \begin{pmatrix} \theta_a \\ \theta_b \end{pmatrix}$$

たわみ性マトリックス

剛性マトリックス

$$\begin{pmatrix} M_{ab} \\ M_{ba} \end{pmatrix} \equiv \begin{pmatrix} 1 \\ 0 \end{pmatrix} \rightarrow \begin{pmatrix} \theta_a \\ \theta_b \end{pmatrix} = \begin{pmatrix} \frac{l}{3EI} \\ l \\ -\frac{l}{6EI} \end{pmatrix}$$

$$\begin{pmatrix} M_{ab} \\ M_{ba} \end{pmatrix} \equiv \begin{pmatrix} 0 \\ 1 \end{pmatrix} \rightarrow \begin{pmatrix} \theta_a \\ \theta_b \end{pmatrix} = \begin{pmatrix} -\frac{l}{6EI} \\ l \\ \frac{l}{3EI} \end{pmatrix}$$

# まとめ

- 1) 例題1：**相反定理**が成立つことの確認
- 2) 例題2：単純ばり → たわみを算定
- 3) 例題3：片持ちばり → たわみを算定
- 4) 例題4, 5：系1と系2で

幾何学的境界条件が異なる場合の**相反定理**

→ **反力の算定**

- 5) **マックスウェルの定理**

# 次の解説について

- ⑨ **仮想仕事の原理**を解説します。

# 質問・要望・意見

よりわかりやすく，役に立つ内容にしたいと考えています。

質問，要望，意見などを，どうぞ宜しくお願い致します。

質問等の送付先は，ホームページに示しています。